

نتایج و کارایی آسپیراسیون سوزنی ظریف تحت هدایت اندوسونوگرافی در بیماران مبتلا به توده توپر پانکراس

بیژن شهربازخانی^۱، محمود باغبانیان^۲، هادی غفرانی^۱، حسین فروتن^۳، ناصر ابراهیمی دریانی^۳، محمد جعفر فرهوش^۱، محمد کلانی^۱، نجمه‌ال‌طه^۱

چکیده

زمینه و هدف:

اندوسونوگرافی روش متمایزی در بررسی ضایعات ساختاری دستگاه گوارش به ویژه سیستم پانکراتوبیلیاری می‌باشد. این روش با فراهم آوردن امکان آسپیراسیون سوزنی، تحول اساسی در تشخیص ضایعات توده ای پانکراس ایجاد کرده است. هدف این مطالعه بررسی نتایج و کارایی EUS-FNA در بیماران مبتلا به توده توپر پانکراس بوده است.

روش بررسی:

این مطالعه که توصیفی، آینده نگر و از نوع Case Series است، از آذرماه ۱۳۸۸ به مدت یک سال بیماران مبتلا به توده توپر پانکراس ارجاع شده برای EUS-FNA در بیمارستان دانشگاهی امام خمینی تهران را مورد بررسی قرار داده است. بیماران برای ۶ تا ۱۲ ماه پیگیری شده اند تا موارد منفی کاذب مشخص شود.

یافته‌ها:

EUS-FNA در همه ۵۳ بیمار بدون هیچ عارضه‌ای انجام شد. در ۵ بیمار به دلیل کافی نبودن نمونه، این اقدام تکرار شد. بیماران اکثراً (۶۸٪) مرد بودند و در ۸۱٪ موارد توده سرپانکراس داشتند. نتیجه این روش در ۴۶ بیمار (۸۷٪) تشخیصی بود. نتیجه سیتوپاتولوژی در ۳۶ مورد (۶۸٪) آدنوكارسینوم، ۷ مورد (۱۳٪) سایر بدخیمی‌ها، ۳ مورد (۶٪) ضایعه خوش خیم و ۷ مورد (۱۳٪) غیرتشخیصی بود. فراوانی نتایج غیرتشخیصی در توده‌های کوچکتر از ۳ سانتی متر به طور معنی دار بالا بود. ($P < 0.002$). سن بیماران با نتیجه غیرتشخیصی کمتر از سن بیماران با نتیجه بدخیمی بود. ($P < 0.001$) (۶۶ ± ۷/۵ سال در برای ۱۵٪ و ۵۲ ± ۰/۰ سال در برای ۸۸٪). حساسیت، ویژگی، ارزش اخباری مثبت، ارزش اخباری منفی و دقیق تغییری این روش در مورد آدنوكارسینوم به ترتیب ۸۸٪، ۱۰۰٪، ۷۰٪ و ۹۰٪ بود.

نتیجه‌گیری:

EUS-FNA روشنی کارآمد و بی خطر در تشخیص پاتولوژی تومورهای پانکراس می‌باشد.

کلید واژه:

توده پانکراس، اندوسونوگرافی، آسپیراسیون سوزنی ظریف

^{*} Endoscopic Ultrasound Guided Fine Needle Aspiration

گوارش/دوره ۱۵، شماره ۳/پاییز ۱۴۰-۱۸۷/۱۳۸۹

نویسنده مسئول:

تهران، خیابان دکتر قریب، بیمارستان امام خمینی، بخش اندوسکوپی
گوارش
تلفن: ۰۲۱-۶۶۵۸۱۶۵۰
نامبر: ۰۲۱-۶۶۵۸۱۶۵۰
پست الکترونیک: baghbani1352@gmail.com
تاریخ دریافت: ۹۰/۱/۲۱
تاریخ اصلاح نهایی: ۹۰/۲/۱۴
تاریخ پذیرش: ۹۰/۲/۲۰

نرم افزار آماری SPSS مورد تجزیه و بررسی قرار گرفت. متغیرهای کمی به صورت دامنه اعداد یا میانگین \pm انحراف معیار و متغیرهای کیفی به صورت فراوانی (درصد) بیان شدند. برای ارزیابی تفاوت آماری متغیرها از تست‌های Exact Fisher Test, T.Test, Chi-Square و در همه تست‌ها عدد P کمتر از 0.05 /معنی دار در نظر گرفته شد. برای محاسبه حساسیت و ویژگی از جدول 2×2 استفاده شده است.

یافته‌ها:

مجموعاً ۵۳ بیمار مبتلا به توده توپر پانکراس با موفقیت و بدون هیچ عارضه ای تحت EU-FNA قرار گرفتند. اطلاعات دموگرافیک، عادات، سوابق پزشکی، علایم بالینی، یافته‌های EU-FNA و نتایج هیستوپاتولوژی آنها در جداول ۱ و ۲ آمده است.

در ۵ بیمار با نتیجه غیر تشخیصی، FNA تکرار شد که نتایج سیتوپاتولوژی این ۵ بیمار در ۳ مورد آدنوکارسینوم، ۱ مورد پانکراتیت فوکال و ۱ مورد غیرتشخیصی بود. نهایتاً نتیجه این روش در ۴۶ بیمار (۸۷٪) تشخیصی بود. در یکی از بیماران، سی تی اسکن نرمال بود؛ نتیجه EU-FNA در این بیمار یک کانون آدنوکارسینوم ۲/۶ سانتی متری را در سر پانکراس نشان داد. یکی دیگر از بیماران قبلاً تحت هدایت سی تی اسکن، بیوپسی توده پانکراس شده بود که پانکراتیت مزمن گزارش شده بود؛ نتیجه EU-FNA این بیمار نیز آدنوکارسینوم بود. (شکل ۱)

اکثر (۶۸٪) پاسخ‌های سایتوپاتولوژیک آدنوکارسینوم بود ولی مواردی از تومورهای غیرشایع و حتی بیماری خوش خیم پانکراس با این روش تشخیص داده شدند. (جدول ۲) تشخیص سیتوپاتولوژی دو مورد¹, GIST, دو مورد² تومور نورواندکرین و یک مورد سودوپاپیلاری نئوپلاسم با بررسی IHC تأیید شد.

همه بیماران برای شش تا دوازده ماه تحت نظر گرفته شدند. به ویژه بیماران با نتیجه سیتوپاتولوژی خوش خیم یا غیرتشخیصی بیشتر مورد توجه بودند. در بیمار با گزارش آسیب شناسی پانکراتیت اتوایمیون، با درمان پردینیزولون خوراکی به مدت سه ماه علایم بروطرف شد و اندازه توده پانکراس در سی تی اسکن مجدد نصف شد. بیمار دیگری که در EU-FNA به عنوان پانکراتیت فوکال تشخیص داده شده بود، طی یازده ماه پیگیری، شواهد کلینیکی و پاراکلینیکی بدخیمی نداشت. وضعیت بالینی و Imaging بیمار دیگری که نتیجه FNA اش فیروز گزارش شده بود در طی دوازده ماه پیگیری تفاوتی نکرد.

نهایتاً نتیجه EU-FNA در ۷ بیمار غیرتشخیصی بود؛ توده پانکراس در همه این موارد کوچک تر از ۶ سانتی متر و در سر پانکراس بود. ۴ مورد از این بیماران به ترتیب به آدنوکارسینوم، لنفومن، کارسینوماتوز صفاق و متاستاز کانسر کولون مبتلا بودند که به ترتیب به دنبال عمل جراحی و پل، بیوپسی جراحی لنف نودسوپراکلاؤپیکول، بررسی سیتوپاتولوژی مایع آسیت و بیوپسی

1. Gastrointestinal Stromal Tumor
2. Immunohistochemistry

است.^{3-۵} اندوسونوگرافی بهترین روش تشخیص تومور پانکراس است.⁶، با این روش، محل و ساختار تومور و تهاجم آن به ارگان‌های مجاور مشخص شده و امكان نمونه برداری دقیق و کم خطر به روش FNA فراهم می‌شود.

EUS-FNA در تشخیص تومورهای بدخیم پانکراس حساسیت حدود ۸۵٪، ویژگی ۱۰۰٪ و دقت تشخیصی بین ۶۰٪ تا ۹۴٪ دارد.^{۷-۱۲} و در مطالعات مختلف نتیجه هیستوپاتولوژیک این روش در توده‌های توپر پانکراس در ۶۳٪ تا ۸۷٪ موارد بدخیم، ۱۳٪ تا ۱۴٪ خوش خیم و ۱۱٪ تا ۲۸٪ غیرتشخیصی بوده است.^{۱۳ و ۱۴} دقت این روش به مهارت اندوسونوگرافیست و تجربه آسیب شناس وابسته است. همراهی پانکراتیت با تومور که گاهی رخ می‌دهد، می‌تواند باعث خطا در نمونه برداری و سردرگمی تفسیر سیتوپاتولوژی شود.^{۱۵ و ۱۶}

هدف این مطالعه بررسی نتایج و کارایی EU-FNA در بیماران مبتلا به توده توپر پانکراس بوده است.

روش بررسی:

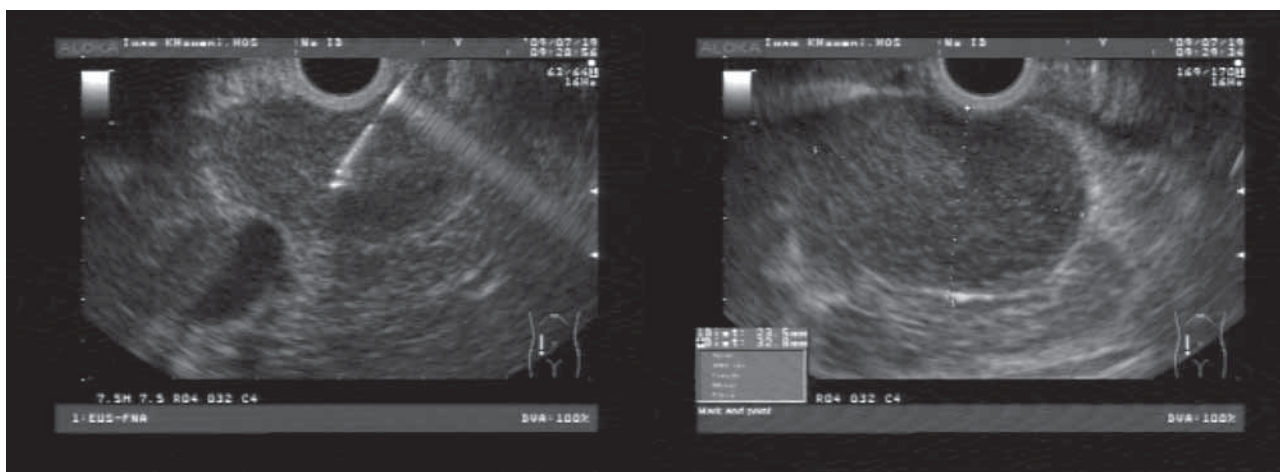
این مطالعه که توصیفی، آینده نگر و از نوع مورد سری (Case Series) بوده و به تأیید معاونت پژوهشی دانشگاه علوم پزشکی تهران رسیده است، از آذر ماه ۱۳۸۸ به مدت یک سال، ۵۳ بیمار مبتلا به توده توپر پانکراس ارجاع شده برای EU-FNA در بخش اندوسکوپی بیمارستان امام خمینی را مورد بررسی قرار داده است.

در این بیمارستان دانشگاهی تا قبل از این مطالعه بالغ بر ۲۰۰۰ مورد اندوسونوگرافی انجام گرفته بود.

توسط یک اندوسونوگرافیست و با دستگاه اندوسونوگرافی خطی (linear) الیمپوس UC 24OP-AL5 و سیستم سونوگرافی داپلر رنگی Cook Wilson Aloka Prosound و سوزن ۱۳ میلی متری شماره ۲۲ انجام می‌شد. برای به دست آوردن نمونه مطلوب، سوزن FNA در داخل توده ۷ تا ۱۰ مرتبه عقب جلو می‌شد ولی فقط یک بار بیوپسی برداشته شد. قبل از انجام اندوسونوگرافی، روش کار برای بیمار توضیح داده شده، تست‌های انعقادی بررسی می‌شد و در حالی که بیمار تحت مانیتور با پالس اکسی متر بود از ۵ میلی گرم میدارولام وریدی به عنوان خواب آور استفاده می‌شد. بعد از انجام FNA بیمار برای ۲ تا ۴ ساعت تحت نظر قرار می‌گرفت.

یک آسیب شناس مشخص نمونه‌ها را بررسی و تشخیص هیستوپاتولوژیک را گزارش می‌کرد. گزارش‌های «قویا مطرح کننده آدنوکارسینوم» به عنوان آدنوکارسینوم و گزارش‌های «آتیپی سلولی» و یا «نمونه ناکافی» به عنوان غیرتشخیصی در نظر گرفته شدند. تشخیصی آسیب شناسی تعدادی از موارد غیرتشخیصی با تکرار EU-FNA و یا با عمل جراحی، حاصل شد. مابقی بیماران برای ۱۲ تا ۱۶ ماه پیگیری شدند؛ بیمارانی که در تکرار بررسی هاشواهد بدخیمی نداشتند به عنوان غیربدخیم (منفی واقعی) محسوب شدند.

اطلاعات دموگرافیک، بالینی و نتایج EU-FNA بیماران با نسخه ۱۱/۵



شکل ۱: آدنوکارسینوم سر پانکراس به شکل توده هیپو اکو در EUS. در تصویر سمت چپ سوزن FNA درون توده دیده می شود.

جدول ۱: اطلاعات دموگرافیک و بالینی بیماران مورد بررسی

متغیر	کل (تعداد=۵۳)	نتیجه سیستوپاتولوژی			P.Value	
		تشخیصی (تعداد=۴۶)		غیرتشخیصی (تعداد=۷)		
		بدخیمی (تعداد=۴۳)	خوش خیم (تعداد=۳)			
سن (سال)	۲۰ -۸۰	۵۰ -۸۰	۶۵-۳۴	۲۰ -۷۵	.۰۰۰۱	
محدوده میانگین	۶۱ ± ۱۲	۶۶ ± ۷/۵	۵۱ ± ۱۵	۵۲ ± ۱۵		
جنس (زن/ مرد)	۱۷/۳۶	۱۳/۳۰	۲/۱	۳/۴	.۰۲۸۱	
صرف سیگار	۲۷ (۵۱٪)	۲۲ (۵۱)	۱ (۳۳٪)	۴ (۵۷٪)	.۰۲۰۷	
صرف الكل	۱	۱	۰	۰	.۰۸۴۶	
سابقه کله سیستکتومی	۳	۲	۰	۱	.۰۵۹۹	
دیابت تعداد (%)	۱۲ (۲۳٪)	۱۰ (۲۳٪)	۰	۲ (۲۸٪)	.۰۳۲۹	
مدت دیابت (سال)	۱ -۲	۱ -۲	-	۱	.۰۴۷۹	
سابقه خانوادگی کانسر پانکراس	۰	۰	۰	۰	-	
علایم بالینی						
درد شکم	۵۰ (۹۴٪)	۴۱ (۹۵٪)	۲ (۶۷٪)	۷ (۱۰۰٪)	.۰۱۴۳	
کاهش وزن	۴۳ (۸۱٪)	۳۶ (۸۴٪)	۰	۷ (۱۰۰٪)	.۰۱۶۴	
ایکتر	۳۵ (۶۶٪)	۲۶ (۶۰٪)	۳ (۱۰۰٪)	۶ (۸۶٪)	.۰۳۰۲	
مدت علایم (ماه)	۱ -۱۲	۱ -۱۲	۴-۲	۱ -۴	.۰۹۰۶	
محدوده میانگین	۲/۷ ± ۱/۷	۲/۶ ± ۱/۹	۲/۶ ± ۱/۴	۲/۳ ± ۱/۵		

جدول ۲: یافته‌های EUS و نتایج سیتوپاتولوژی در بیماران بررسی شده

متغیر	کل (ن=۵۳)	نتیجه سیتوپاتولوژی			pValue	
		تشخیصی (ن=۴۶)		غیرتشخیصی (ن=۷)		
		بدخیمی (ن=۴۳)	خوش خیم (ن=۳)			
محل تومور						
سر	۴۳ (۸۱)	۳۳ (۷۶)	۳ (۱۰۰)	۷ (۱۰۰)	.۹۵	
تنہ	۸ (۱۵)	۸ (۱۹)	.	.		
دم	۲ (۴)	۲ (۵)	.	.		
اندازه توده (میلی متر)	۲۰ - ۱۰۵	۲۰ - ۱۰۵	۲۰ - ۵۰	۲۰ - ۴۰	.۰۰۲	
محدوده میانگین	۴۱ ± ۱۵	۴۱ ± ۱۶	۳۳ ± ۱۴	۲۹ ± ۱۰		
تهاجم عروقی	۲۷ (۵۱)	۲۴ (۵۶)	.	۳ (۴۳)	.۰۹۹	
تشخیص سیتوپاتولوژی						
آدنوکارسینوم						
GIST	۳۶ (۶۸)	۳۶ (۸۴)	.	.		
تومور نوروانوکرین	۲ (۳/۸)	۲ (۴/۶)	.	.		
موسینوس سیت نتوپلاسم	۲ (۳/۸)	۲ (۴/۶)	.	.		
تومور سودوپاپیلاری	۱ (۱/۹)	۱ (۲/۳)	.	.		
ژئانت سل تومور	۱ (۱/۹)	۱ (۲/۳)	.	.		
فیبروز	۱ (۱/۹)	۱ (۲/۳)	.	.		
پانکراتیت فوکال	۱ (۱/۹)	.	۱ (۳۳)	.		
پانکراتیت اتواپیتون	۱ (۱/۹)	.	۱ (۳۳)	.		
۱ (۱/۹)	.	۱ (۳۳)	.			
غیرتشخیصی	۷ (۱۳)	.	.	۷ (۱۰۰)		

از بیماران با نتیجه غیرتشخیصی بودند. $66 \pm 7/5$ سال در برابر 52 ± 15 سال: $p < 0.001$

بحث: برآز آدنوکارسینوم پانکراس روبه افزایش است. (۱۷)، EUS-FNA یکی از روش‌های مرجع در بررسی توده‌های تپیر پانکراس است (۱۸ و ۱۹) که می‌تواند آدنوکارسینوم، تومورهای غیر آدنوکارسینوم و ضایعات خوش خیم را تشخیص دهد. (۱۳ و ۱۴)، حساسیت و ویژگی این روش به مهارت اندوسونوگرافیست و تجربه آسیب شناس وابسته است. با اضافه شدن پانکراتیت به تومور، دقت تشخیصی این روش کم می‌شود. (۲۰) کاربردهای EUS در بدخیمی پانکراس عبارتند از: تشخیص تومورهای کوچک

تحت هدایت سی تی اسکن تشخیص داده شدند. سه مورد باقیمانده بدون تشخیص هیستوپاتولوژی فوت کردند.

براساس مطالب فوق حساسیت، ویژگی ارزش اخباری مثبت، ارزش اخباری منفی و دقت تشخیصی این روش در مورد آدنوکارسینوم به ترتیب ۸۸٪، ۱۰۰٪، ۷۰٪ و ۹۰٪ بود.

علاوه بر متغیرهایی که در جداول ۱ و ۲ آمده اند، فاکتورهای دیگری نظیر هموگلوبین، ESR، سطح سرمی CA19-9، بیلی روبین، آمیلаз و قند خون بیماران هم بررسی شد که در این بین فقط سن بیمار و اندازه توده با نتیجه سیتوپاتولوژی EUS-FNA ارتباط آماری داشت. در تومورهای کوچک تراز ۳ سانتی متر نسبت به توده‌های بزرگ تر فراوانی موارد نتایج غیرتشخیصی بیشتر بود. (۶ در برابر ۱: $p < 0.002$) و بیماران با نتیجه بدخیمی مسن تر

دیگری ۱۰ سانتی متر بود. شاید اندازه بزرگ آنها در این موقعيت تأثیر داشته است.

برخی صاحب نظران در تجربه خود، تشخيص مواردی از لنفوم و متاستاز به پانکراس را با EUS-FNA گزارش کرده اند (۱۳ و ۱۴) ولی در این مطالعه، یک مورد لنفوم و یک مورد متاستاز کانسر کولون بودند که با این روش تشخيص داده نشدند؛ اندازه توده در هر دو مورد کمتر از ۳ سانتی متر بود و شاید همین موضوع باعث عدم تشخيص آنها شد.

حساسیت و ویژگی این روش ۸۸٪ و ۱۰۰٪ بود که با نتایج مطالعات قبلی همخوانی دارد (۱۳ و ۱۴ و ۲۷ و ۳۵-۳۹)، این در حالی است که گزارش آتبیپی سلولی که در برخی از این مطالعات، معادل آدنوکارسینوم در نظر گرفته شده در این مطالعه به عنوان غیرتشخصی قلمداد شده است.

در مورد بدخیمی، بالا بودن ارزش اخباری مثبت (۱۰۰٪) و پائین بودن ارزش اخباری منفی (۷۰٪) نشان می‌دهد که تشخيص بدخیمی گزارش شده در بررسی سیتوپاتولوژی EUS-FNA معتبر است ولی نتیجه غیرتشخصی آن ردکننده بدخیمی نیست.

EUS-FNA برای مرحله بندي (staging) تومور پانکراس به کار می‌رود. در ۵۱٪ از بیماران بررسی شده تهاجم عروقی تومور دیده می‌شد. ولی چون در مطالعه ما فقط توده‌های محدود به پانکراس نمونه برداری شدند و از درگیری تومورال لنف نودها و بافت‌های اطراف پانکراس نمونه برداری انجام نشد و در ضمن تنها ۳ نفر از بیماران مورد جراحی رزکسیون (ویپل) قرار گرفتند امکان مرحله بندي تومورهای بررسی شده و مقایسه آن با نتایج جراحی نبود.

نتیجه گیری:

یک روش کارآمد و بی خطر در بررسی توده‌های توپر پانکراس EUS-FNA است و می‌تواند بیماری‌های بدخیم مثل آدنوکارسینوم و بیماری‌های خوش خیم مثل پانکراتیت اتوایمیون را تشخیص دهد. عواملی چون اندازه کوچک توده، خرابی سوزن FNA، همراهی پانکراتیت، مهارت ناکافی اندوسونوگرافیست و تجربه ناکافی آسیب شناس در غیرتشخصی شدن نتیجه این اقدام دخیلند. در مواردی که نتیجه تشخیصی نباشد، تکرار FNA توصیه می‌شود. اگر باز هم نتیجه غیرتشخصی بود، ممکن است عمل جراحی به ویژه در توده‌های قابل رزکسیون لازم شود.

که در سی تی اسکن و یا MRI دیده نمی‌شوند (۲۱)، نمونه برداری ضایعات احاطه شده با عروق خونی (۲۲)، تشخیص درگیری غدد لنفی (۲۳)، بیوبسی از ضایعات کوچک مشکوک به متاستاز در لوب چپ کبد (۲۴)، تشخیص کارسینوماتوز صفاقی با آسپیراسیون مایع آسیت (۲۵) و رفع درد بیمار با بلوک شبکه عصبی سلیاک (۲۶) ارزش اخباری منفی این روش در بدخیمی پانکراس پائین است، در نتیجه برخی صاحب‌نظران توده‌های قابل رزکسیون را بدون انجام FNA مورد عمل جراحی قرار می‌دهند و انجام EUS-FNA را فقط در تومورهای پیشرفته و غیرقابل جراحی لازم می‌دانند زیرا نتیجه آن می‌تواند راهنمای شیمی درمانی باشد (۲۷ و ۲۸)، ولی طبق مطالعه حاضر نتیجه گیری می‌شود که انجام این اقدام تشخیصی در تمام توده‌های پانکراس اعم از قابل رزکسیون و یا غیرقابل رزکسیون لازم است زیرا براساس نتایج سیتوپاتولوژی آن، اولاً برخی ضایعات که در سی تی اسکن قابل رزکسیون به نظر می‌رسند قابل رزکسیون و ثانیاً نوع عمل جراحی و وسعت رزکسیون برحسب پاتولوژی تumor متفاوت است. این رویه با تشخیص موارد پانکراتیت اتوایمیون و یا لنفوم، مانع انجام جراحی‌های غیرضروری می‌شود.

علاوه بر این، سطح بیلی روین، آلکالن فسفاتاز، CA19-9 سرم، تهاجم عروقی تومور در بیماران بررسی شده نسبت به مطالعات مشابه بیشتر بود (۲۸-۳۱). این موضوع می‌تواند مربوط به تشخیص دیر هنگام ناشی از تأخیر در ارجاع بیماران باشد. مانند سایر مطالعات مشابه، اکثر توده‌های بررسی شده و اکثر آدنوکارسینوم‌های تشخیص داده شده در سر پانکراس بودند (۱۷ و ۳۲)، فراوانی نتیجه غیرتشخصی هم در توده‌های سر نسبت به تنه و دم پانکراس بیشتر بود (۷ در برابر صفر) ($p = 0.95$). درست است که این موضوع آخر از نظر آماری معنی دار نبود ولی قابل توجه بود. ممکن است زاویه دار شدن و پیچ خودن قسمت انتهایی دستگاه اندوسونوگرافی در دئدونوم و در نتیجه کاهش تأثیر مکش سرنگ آسپیراسیون در این قضیه دخیل باشد. بیماران با نتیجه بدخیمی مسن تراز بیماران با نتیجه غیرتشخصی بودند $66 \pm 7/5$ سال در برابر 52 ± 15 سال ($p < 0.001$). این موضوع در مطالعه فیشر^۲ و همکاران هم تأیید شده است (۳۳) و مربوط به بروز بیشتر بدخیمی‌های پانکراس در سن بالا می‌باشد. در توده‌های کوچک تراز ۳ سانتی متر نسبت به توده‌های بزرگ تر، فراوانی نتایج غیرتشخصی بیشتر بود (۶ در برابر ۱: $p < 0.002$)، این موضوع که در مطالعه ویلیامز^۳ و همکاران تأیید شده (۳۳) و در مطالعه فیشر و همکاران تأیید نشده است. می‌تواند مربوط به تجربه و مهارت اندوسونوگرافیست باشد.

تومورهای نورواندکرین کوچک و پرخون هستند و تشخیص آنها با EUS-FNA مشکل است (۳۴) ولی در مطالعه حاضر دو مورد تومور نورواندکرین با این روش تشخیص داده شدند. یکی از آنها ۵ سانتی متر و

RERERENCES

- Jemal A, Siegel R, Ward E, Hao Y, Xu J, Thun MJ. Cancer statistics, 2009. *CA Cancer J Clin* 2009;59:225-49.
- Klimstra DS. Nonductal neoplasms of the pancreas. *Mod Pathol* 2007;20 Suppl 1:S94-112.
- Pinto MM, Avila NA, Criscuolo EM. Fine needle aspiration of the pancreas. A five-year experience. *Acta Cytol* 1988;32: 39-42.
- Welch TJ, Sheedy PF, Johnson CD, Johnson CM, Stephens DH. CT-guided biopsy: prospective analysis of 1,000 procedures. *Radiology* 1989;171:493-6.
- DiMagno EP, Reber HA, Tempero MA. AGA technical review on the epidemiology, diagnosis, and treatment of pancreatic ductal adenocarcinoma. American Gastroenterological Association. *Gastroenterology* 1999;117:1464-84.
- LeBlanc JK, Espada R, Ergun G. Non-small cell lung cancer staging techniques and endoscopic ultrasound: tissue is still the issue. *Chest* 2003;123:1718-25.
- Legmann P, Vignaux O, Dousset B, Baraza AJ, Palazzo L, Dumontier I ,et al . Pancreatic tumors: comparison of dual-phase helical CT and endoscopic sonography. *Am J Roentgenol* 1998;170:1315-22.
- Akahoshi K, Chijiwa Y, Nakano I, Nawata H, Ogawa Y, Tanaka M, et al. Diagnosis and staging of pancreatic cancer by endoscopic ultrasound. *Brit J Radiol* 1998;71:492-6.
- Cannon ME, Carpenter SL, Elta GH, Nostrant TT, Kochman ML, Ginsberg GG, et al. EUS compared with CT, MRI, and angiography and the influence of biliary stenting on staging accuracy of ampullary neoplasms. *Gastrointest Endosc* 1999;50:27-33.
- Ahmad NA, Lewis JD, Ginsberg GG, Rosato EF, Morris JB, Kochman ML. EUS in preoperative staging of pancreatic cancer. *Gastrointest Endosc* 2000;52:463-8.
- Meining A, Dittler HJ, Wolf A, Lorenz R, Schusdziarra V, Siewert JR ,etal . You get what you expect? A critical appraisal of imaging methodology in endosonographic cancer staging. *Gut* 2002;50:599-603.
- Soriano A, Castells A, Ayuso C, Ayuso JR, de Caralt MT, Gines MA, et al. Preoperative staging and tumor resectability assessment of pancreatic cancer: prospective study comparing EUS, helical CT, MRI, and angiography. *Am J Gastroenterol* 2004;99:492-501.
- Ardengh JC, Lopes CV, de Lima LF, de Oliveira JR, Venco F, Santo GC,et al. Diagnosis of pancreatic tumors by endoscopic ultrasound-guided fine-needle aspiration. *World J Gastroenterol* 2007;13:3112-6.
- Wilson JL, Kalade A, Prasad S, Cade R, Thomson B, Banting S,et al. Diagnosis of solid pancreatic masses by endoscopic ultrasound-guided fine-needle aspiration. *Intern Med* 2009;39:32-7.
- Alsbai KD, Denis B, Bottlaender J, Kleinclaes I, Straub P, Fabre M. Impact of cytopathologist expert on diagnosis and treatment of pancreatic lesions in current clinical practice. A series of 106 endoscopic ultrasound-guided fine needle aspirations. *Cytopathology* 2006;17:18-26.
- Varadarajulu S, Tamhane A, Eloubeidi MA. Yield of EUS- FNA of pancreatic masses in the presence or the absence of chronic pancreatitis. *Gastrointest Endosc* 2005;62:728-36.
- Helmstaedter L, Riemann JF. Pancreatic cancer-EUS and early diagnosis .*Arch Surg* 2008; 393:923-27.
- Warshaw AL, Gu ZY, Wittenberg J, Walkman AC. Preoperative staging and assessment of resectability of pancreatic cancer. *Arch Surg* 1990;125:230-3.
- ASGE Standards of Practice Committee, Gan SI, Rajan E, Adler DG, Baron TH, Anderson MA,et al. Role of EUS. *Gastrointest Endosc* 2007;66:425-34.
- DelMaschio A, Vanzulli A, Sironi S, Castrucci M, Mellone R, Staudacher C,et al. Pancreatic cancer versus chronic pancreatitis: diagnosis with CA 19-9 assessment, US, CT, and CT-guided fine-needle biopsy. *Radiology* 1991;178:95-9.
- Gress F, Gottlieb K, Sherman S, Lehman G. Endoscopic ultrasonography-guided fine-needle aspiration biopsy of suspected pancreatic cancer. *Ann Intern Med* 2001; 34:459-64.
- Williams DB, Sahai AV, Aabakken L, Penman ID, van Velse A, Webb J,et al. Endoscopic ultrasound guided fine needle aspiration biopsy: a large single centre experience. *Gut* 1999;44:720-6.
- tenBerge J, Hoffman BJ, Hawes RH, Van Enckevort C, Giovannini M, Erickson RA,et al. EUS-guided fine needle aspiration of the liver: indications, yield, and safety based on an international survey of 167 cases. *Gastrointest Endosc* 2002;55:859-62.
- Chang KJ, Albers CG, Nguyen P. Endoscopic ultrasound-guided fine needle aspiration of pleural and ascitic fluid. *Am J Gastroenterol* 1995;90:148-50.
- Gunaratnam NT, Sarma AV, Norton ID, Wiersema MJ. A prospective study of EUS-guided celiac plexus neurolysis for pancreatic cancer pain. *Gastroint Endosc* 2001;54:316-24.
- Saftoiu, A, Vilmann, P. Role of endoscopic ultrasound in the diagnosis and staging of pancreatic cancer. *J Clin Ultrasound* 2009; 37:1-17.
- Hartwig W, Schneider L, Diener MK, Bergmann F, Büchler MW, Werner J. Preoperative tissue diagnosis for tumours of the pancreas. *Br J Surg* 2009;96:5-20.
- O'Malley ME, Boland GW, Wood BJ, Fernandez-del Castillo C, Warshaw AL, Mueller PR. Adenocarcinoma of the head of the pancreas: determination of surgical unresectability with thin-section pancreatic-phase helical CT. *AJR Am J Roentgenol* 1999;173:1513-8.
- Lu DS, Reber HA, Krasny RM, Kadell BM, Sayre J. Local staging of pancreatic cancer: criteria for unresectability of major vessels as revealed by pancreatic-phase, thin-section helical CT. *AJR Am J Roentgenol* 1997;168:1439-43.
- Kalser MH, Barkin J, MacIntyre JM. Pancreatic cancer;Assessment of prognosis by clinical presentation. *Cancer* 1985; 56:397-402.
- Bakkevold KE, Arnesjo B, Kampestad B. Carcinoma of the pancreas and papilla of Vater: Presenting symptoms, signs and diagnosis related to stage and tumor site. *Scand J Gastroenterol* 1992;27:317-25.
- Williams DB, Sahai AV, Aabakken L, Penman ID, van Velse A, Webb J,et al. Endoscopic ultrasound guided fine needle aspiration biopsy: a large single centre experience. *Gut* 1999;44:720-6.
- Fisher L, Segarajasingam DS, Stewart C, Deboer WB, Yusoff IF. Endoscopic ultrasound guided fine needle aspiration of solid pancreatic lesions: Performance and outcomes. *J Gastroenterol*

- Hepatol 2009;24:90-6.
- 34. Voss M, Hammel P, Molas G, Palazzo L, Dancour A, O'Toole D, et al. Value of endoscopic ultrasound guided fine needle aspiration biopsy in the diagnosis of solid pancreatic masses. *Gut* 2000;46:244-9.
 - 35. Rocca R, De Angelis C, Daperno M, Carucci P, Ravarino N, Bruno M, et al. Endoscopic ultrasound-fine needle aspiration (EUS-FNA) for pancreatic lesions: effectiveness in clinical practice. *Dig Liver Dis* 2007;39:768-74.
 - 36. Touchefeu Y, Lerhun M, Coron E, Alamdar A, Heymann M F, Mosnier J F, et al. EUS-FNA for the diagnosis of solid pancreatic masses: the impact on patient-management strategy. *Aliment Pharmacol Ther* 2009;30:1070-7.
 - 37. Imaoka H, Yamao K, Bhatia V, Shimizu Y, Yatabe Y, Koshikawa T, et al. Rare pancreatic neoplasms: the utility of endoscopic ultrasoundguided fine-needle aspiration—a large single center study. *J Gastroenterol* 2009;4:146-153.
 - 38. Volmar KE, Vollmer RT, Jowell PS, Nelson RC, Xie HB. Pancreatic FNA in 1000 cases: a comparison of imaging modalities. *Gastrointest Endosc* 2005;61:854-61.
 - 39. Mirbagheri A, Mansuri S, Abuzari M, Radmehr M, Jazaieri H, Hormozdi M, et al. Results and Complications of Endoscopic Ultrasound Guided-FNA in Patients with Pancreatic and Gastrointestinal Submucosal Lesions. *Govareh* 2005;10:194-8.

Result and Efficacy of Endoscopic Ultrasound Guided FNA in Patients with Solid Pancreatic Neoplasm

**Shabazkhani B¹, Baghbanian M², Ghofrani H¹, Forutan H³,
Ebrahimi_ Daryani N³, Farahvash MJ¹, Kalani M⁴, Aletaha N⁴**

¹ Associate Professor, Emam Hospital, Tehran University of Medical Sciences, Tehran, Iran

² Fellow of Gastroenterology, Emam Hospital, Tehran University of Medical Sciences, Tehran, Iran

³ Professor , Emam Hospital, Tehran University of Medical Sciences, Tehran, Iran

⁴ Assistant Professor, Emam Hospital, Tehran University of Medical Sciences, Tehran, Iran

ABSTRACT

Background:

Endosonography is a distinct method in evaluating gastrointestinal (GI) structural lesions, particularly in the pancreatobiliary system. This procedure has made a fundamental change in the diagnosis of pancreatic mass lesions through fine needle aspiration (FNA). This study aims to evaluate the results and efficacy of endosonographic fine needle aspiration (EUS-FNA) in patients presenting with solid pancreatic masses.

Methods: This was a descriptive, prospective, case series study of patients who presented with solid pancreatic masses to Imam Khomeini Hospital, Tehran, Iran over a one year period (from November 2009-2010). In order to determine false negative cases, patients were followed for 6 to 12 months.

Results: A total of 53 patients underwent EUS-FNA with no complications. The results were diagnostic in 46 (87%) cases. The majority of patients were male (68%) and 81% had a mass in the pancreatic head. Cytopathology results revealed 36 (68%) adenocarcinomas, 7 (13%) other malignancies, 3 (6%) benign lesions and 7 (13%) nondiagnostic cases.

The frequency of nondiagnostic results was significantly more in masses smaller than 3 cm (6 vs. 1, $p < 0.002$). Patients with nondiagnostic results were younger than those with malignant cytopathologies (52 ± 7.5 vs. 66 ± 7.5 years, $p < 0.001$). Sensitivity, specificity, PPV, NPV and accuracy of EUS-FNA in adenocarcinoma cases were 88%, 100%, 100%, 70% and 90%, respectively.

Conclusion: EUS-FNA is an effective and safe procedure in the histopathologic diagnosis of pancreatic tumors.

Keywords: Pancreatic neoplasm, Endosonography, Fine needle aspiration.

Govareh/Vol.15, No.3, Autumn 2010; 180-187

Corresponding author:

Gastrointestinal Endoscopy Ward, Emam Khomeini

Hospital, Dr. Gharib Street, Tehran, Iran

Tel: +98 66581650

Fax: +98 66581650

E-mail: baghbanian1352@gmail.com

Received: 10 Apr. 2011

Edited: 4 May 2011

Accepted: 10 May 2011